

## 水底ヒンジ固定構造物に働く波力と波浪応答

鹿児島大学工学部 正員 吉原 進〇多喜良秀  
 鹿児島大学工学部 学生 田中 稔 山王 達也  
 鹿児島大学大学院 学生員 駒松 麻成 Venkataramanan K

### 1. 考え方

海洋構造物の波浪による動的応答に関する研究の一貫として、円柱構造物に作用する波力を取り上げる。今回用いた構造物は、円柱が水底でヒンジ支持されただけのもので、拘束の度合を小さく水中で大きく運動してしまうものである。このように水中で大きく運動する構造物のまわりの水は、表面波や渦の発生のために、極めて複雑な挙動を呈する。このような水の動きを解析的にとらえることは困難であるので、筆者らが従来から行っているような構造物の挙動からそれらを間接的に評価しようとする方法が、今回の場合にも適用できるかを検討しようとしたものである。すなわち波浪中に運動する構造物に作用する力は、構造物の振動に起因する力と、波による水粒子の運動に起因する力の和で表わされると考えて、それぞれの力はモリソン式を流用して慣性項と抗力項の和であるとする。そして実験から構造物の運動を詳細に解析し、その結果を用いて各項の係数を決定しようとするものである。

以下、上記構造物の運動方程式と実験方法の説明と結果について報告する。

### 2. 実験装置と実験方法

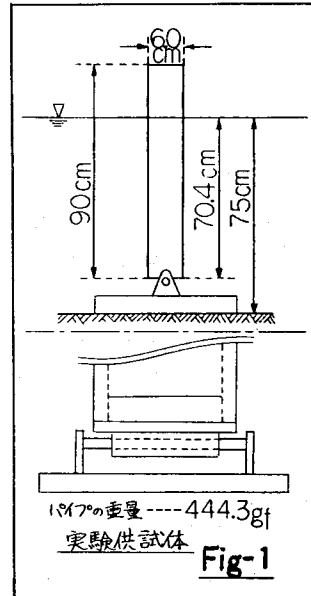
実験用いたモデルをFig-1に示す。円柱は外径6.0cmの強化ビニル性のパイプで、下部において一方の振動のみをするようにヒンジを加えた。円柱に対しては、下部以外において拘束するところではなく円柱自身は浮力によらず直立している。実験に当たっては、円柱の固有周期を実験水槽で使用可能な波浪の周期範囲内に納まるように約1.8秒とした。実験は、長さ30m、幅1m、高さ1.2mの2次元造波水路にて、一段水深部の水深を75cmとして行った。

実験方法は、2次元造波水路のほぼ中央に設置した円柱モデルにフラン式造波機により波を与えて、その時の円柱の運動と波形を記録する。この際、構造物の運動を妨げないように、16mmカメラを用いて記録した。

実験は、まず静水中にて自由振動実験を行う。これで円柱の固有周期と減衰定数を決定するためのもので、初期変位が5cmと15cmの2ケースについて行った。次に規則波と不規則波による水中強制振動実験を行った。規則波による振動実験では円柱の固有周期と波浪の周期を考慮して規則波の周期は0.83秒~2.5秒を用い、波高も4cmと6cmの2ケースについて行った。不規則波による振動実験では、 $\frac{1}{2}$ 周期が円柱の固有周期に近い1.8秒を用いて行った。尚、規則波実験では、水路長が必ずしも十分でなく消波工の効果が少ないので反射波の影響があつて、場合によっては完全に定常状態にする前に記録を取らざるを得ないことがある。

### 3. 運動方程式

- (i) 円柱は剛体であり、曲げはない。
- (ii) 円柱の下部は摩擦の無いヒンジで水底に固定されている。
- (iii) 波力  $F_x$  はモリソン式で表わす。
- (iv) 浮体抵抗力  $R_x$  はモリソン式を参考に次式で表わす。



固有周期(秒)	1.83
減衰定数	0.10

表1

$$dF = C_m \frac{W}{g} \frac{\pi D^3}{4} \frac{\partial U}{\partial t} dy + C_d \frac{W}{g} \frac{D}{2} U |U| dy \quad dR = C_m \frac{W}{g} \frac{\pi D^3}{4} \frac{\partial^2 X}{\partial t^2} dy + C_d \frac{W}{g} \frac{D}{2} \frac{\partial X}{\partial t} \frac{\partial X}{\partial t} dy$$

ここに、 $C_m, C_d$ ：質量力係数、抗力係数  $C_m, C_d$ ：付加質量係数、付加抗力係数  $D$ ：円柱の外径(cm)  
 $W$ ：水の単位体積重量(g/cm<sup>3</sup>)  $U$ ：波による水粒子速度(cm/sec)  $X$ ：円柱の変位量(cm)

運動方程式の組立てには、変分形式によってスカラーのエネルギー量で考えるハミルトンの方法を用いる。方程式に用いる座標変数および定数をFig-2に示す。ここで構造物の振動は微小であり、波は微小振幅規則波として運動方程式を組立てると次式による。

$$\left( \frac{W}{3g} + C_m \frac{W}{g} \frac{\pi D^3}{4} \frac{h^2}{2L} \right) \ddot{x}_t + C_d \frac{W}{g} \frac{D}{2} \frac{h^2}{2L} \dot{x}_t |\dot{x}_t| + \left( \frac{B(h+\eta)}{2L^2} - \frac{W}{2L} \right) x_t = C_m \frac{W}{2} \frac{\pi D^3}{4} H \alpha_1(k) i e^{i\omega t} + C_d \frac{W}{2} \frac{D}{2} \frac{H^2}{4L} \alpha_2(k) e^{i\omega t}$$

$$\text{ここで } \alpha_1(k) = h \cdot \tanh kh - \frac{1}{k}, \quad \alpha_2(k) = h - \frac{1}{2k \tanh kh} + \frac{k h^2}{\sinh 2kh},$$

$H$ : 波高(cm)  $k$ : 規則波の波数

運動方程式より求まる構造物の固有周期Tの式を次式に示す。

$$T = 2\pi \sqrt{\frac{\frac{W}{3g} + C_m \frac{W}{g} \frac{\pi D^3}{4} \frac{h^2}{2L}}{\frac{B(h+\eta)}{2L^2} - \frac{W}{2L}}} \quad \text{①} \quad \text{ここで } W: \text{円柱の重量(g重)} \\ B: \text{浮力(g重)}$$

#### 4. 実験結果と考察

水中自由振動実験結果より得られた円柱の固有周期と減衰定数を表1に示す。自由振動実験の結果は、初期変位の小さな時はスムーズな減衰振動を行ふが、初期変位の大きい時は極端に減衰し振動することなく止む。大きめを見せる状態である。このように初期変位によつて減衰の状態が大きく違うのは、構造物の初期変位が大きい場合に構造物の回りの水が表面波や渦を発生するためには大きな減衰を示す。初期変位が小さい場合はそれらの影響は小さく水の粘性のみによる減衰効果しかないと示しているものと思われる。実験より得られた円柱の固有周期と①式を用いて付加質量係数 $C_m$ を求めるところ0.5の値となる。これはボテンシャル理論を使って計算した場合の付加質量係数 $C_m$ の値が0.45であるので実際の水の中での値としては、ほぼ妥当な値だと思われる。ただし今回用いた固有周期は初期変位の小さな場合のものであり、円柱の変位が大きい場合、実験より固有周期が確立できずので付加質量係数 $C_m$ の値はわからぬ。しかし、付加質量係数 $C_m$ の場合は、減衰の場合はほど大きくなるものと推定できる。次に規則波外力による強制振動実験結果より得られた波高4cmと6cmの共振曲線と位相曲線をそれぞれFig-3とFig-4に示す。これから円柱は一自由度線型振動系であることがわかる。これらの結果より波力の項である質量力係数 $C_m$ と抗力係数 $C_d$ を決定し運動方程式を完成させ、その妥当性を検討するために不規則波による水中強制振動実験の結果と比較するわけだが、その結果の詳細は講演時に譲る。

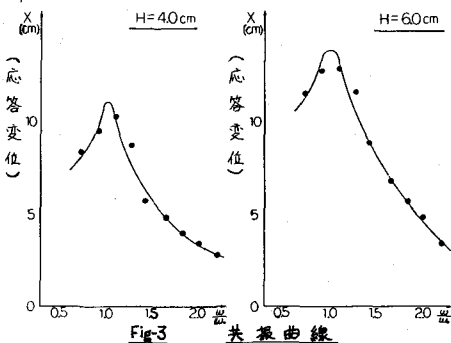


Fig-3 共振曲線

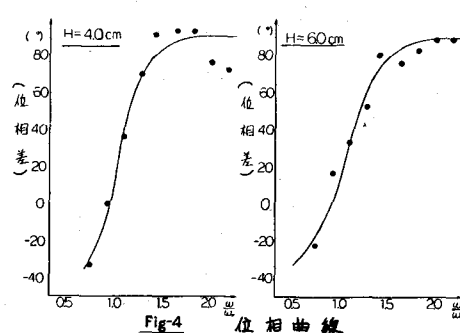


Fig-4 位相曲線

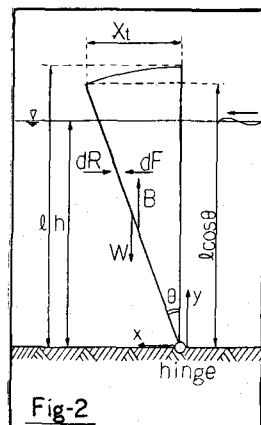


Fig-2